

# O Teorema de Gauss-Bonnet

JOSÉ NATÁRIO  
INSTITUTO SUPERIOR TÉCNICO  
[jnatar@math.ist.utl.pt](mailto:jnatar@math.ist.utl.pt)

## 1. INTRODUÇÃO

Não distinguimos superfícies que têm a mesma forma, ou **geometria**. Assim, uma superfície esférica numa dada posição do espaço é identificada com outra superfície esférica do mesmo raio noutra posição qualquer do espaço, mas não com a superfície de um elipsóide. Para estudar a geometria de uma superfície usam-se conceitos como comprimentos, ângulos, geodésicas (curvas de comprimento mínimo) e polígonos geodésicos (polígonos cujos lados são arcos de geodésicas).

Como passo inicial para descrever as superfícies classificamo-las de acordo com uma semelhança mais grosseira, em que certos aspetos da sua geometria, como comprimentos e ângulos, são ignorados. Mais precisamente, dizemos que duas superfícies têm a mesma **topologia** se é possível deformar uma na outra continuamente (isto é, sem rasgar nem colar). Por exemplo, a superfície de uma esfera tem a mesma topologia que a superfície de um elipsóide. No estudo da topologia de uma superfície usam-se certas quantidades, como, por exemplo, a característica de Euler, que são invariantes por deformações contínuas.

Neste artigo descrevemos de forma elementar o teorema de Gauss-Bonnet, que relaciona a geometria de uma superfície fechada com a sua topologia. Na secção 2 recordamos a fórmula de Euler para poliedros convexos, e definimos a característica de Euler de uma superfície fechada qualquer. Na secção 3 estudamos a geometria das superfícies dos poliedros: definimos o excesso angular de um polígono geodésico,

Qual a relação entre a geometria de uma superfície fechada e a sua topologia? Neste artigo descreveremos o Teorema de Gauss-Bonnet, que pode ser visto como o precursor dos grandes teoremas da geometria do século XX.

o defeito angular de um vértice, e provamos um teorema de Descartes que relaciona a soma dos defeitos angulares com a característica de Euler. Este teorema é usado na secção 4 para intuir o teorema de Gauss-Bonnet: a soma dos excessos angulares de qualquer decomposição de uma superfície fechada em polígonos geodésicos depende apenas da sua característica de Euler.

## 2. A FÓRMULA DE EULER

A fórmula de Euler para poliedros convexos [1] é bem conhecida:

$$V - A + F = 2,$$

onde  $V$  é o número de vértices,  $A$  é o número de arestas e  $F$  é o número de faces.

**Exercício 2.1.** Verifique esta fórmula para os seguintes poliedros convexos:

- 1) Uma pirâmide cuja base é um polígono com  $n$  lados (inclui o tetraedro);
- 2) Um prisma cuja base é um polígono com  $n$  lados (inclui o cubo);
- 3) O sólido obtido colando duas pirâmides em 1) pela base (inclui o octaedro).

Existem muitas demonstrações da fórmula de Euler [2]. Um primeiro passo é reduzir o problema ao caso em que todas as faces são triângulos. De facto, se uma dada face é um polígono com  $n$  lados podemos sempre decompô-la em  $n$  triângulos acrescentando um vértice no seu interior. Desta forma aumentámos  $V$  em uma unidade (porque acrescentámos um vértice), aumentámos  $A$  em  $n$  unidades (porque acrescentámos uma aresta por cada um dos  $n$  vértices do polígono) e aumentámos  $F$  em  $n - 1$  unidades (de uma face fizemos  $n$  faces). A variação de  $V - A + F$  foi então de

$$1 - n + (n - 1) = 0,$$

e, portanto,  $V - A + F$  tem o mesmo valor para o novo poliedro.

Assumindo então que todas as faces são triângulos, imaginemos que vamos retirando as faces uma a uma. Quando retiramos a primeira face reduzimos  $F$  em uma unidade mantendo  $V$  e  $A$  inalterados. Portanto,  $V - A + F$  reduz-se em uma unidade. A partir deste momento existem faces com arestas “livres” (ou seja, que não são arestas de outras faces).

É intuitivamente claro, e pode provar-se rigorosamente<sup>4</sup>, que é possível ir retirando faces com arestas livres de forma a que em cada passo as arestas livres formem uma linha fechada simples (sem auto-interseções). Se retirarmos uma face com uma aresta livre, diminuímos  $F$  em uma unidade e  $A$  em uma unidade, mantendo  $V$  constante. Logo,  $V - A + F$  mantém-se constante. Se retirarmos uma face com duas arestas livres diminuímos  $F$  em uma unidade,  $A$  em duas unidades e  $V$  em uma unidade. Portanto, também neste caso  $V - A + F$  se mantém constante. Quando retiramos todas as faces até só restar um triângulo, temos  $V - A + F = 3 - 3 + 1 = 1$ . Logo,  $V - A + F = 1 + 1 = 2$  para o poliedro inicial.

A superfície de qualquer poliedro convexo tem a mesma topologia que a superfície da esfera. Um poliedro com faces triangulares induz então uma **triangulação** da superfície da esfera, isto é, uma divisão da superfície da esfera em regiões com a topologia de triângulos, que se intersejam ao longo de arestas comuns. A demonstração acima pode ser facilmente adaptada para mostrar que qualquer triangulação da superfície da esfera com  $F$  triângulos,  $A$  arestas e  $V$  vértices satisfaz  $V - A + F = 2$ . Note-se que isto não tem de ser (e não é!) verdade para superfícies com outras topologias, como, por exemplo, a superfície de um *donut* (*toro*). Continua no entanto a ser verdade que para qualquer superfície fechada  $S$  o número inteiro

$$\chi(S) = V - A + F$$

não depende da triangulação usada para o calcular, e é o mesmo para todas as superfícies com essa topologia. Este número chama-se a **característica de Euler** da superfície.

**Exercício 2.2.** Verifique que a característica de Euler do toro é zero.

**Exercício 2.3.** Onde é que a demonstração acima de que a característica de Euler da esfera é 2 falha no caso do toro?

### 3. UM TEOREMA DE DESCARTES

Para a fórmula de Euler, a geometria exata da superfície do poliedro é irrelevante. Por exemplo, qualquer pirâmide triangular corresponde essencialmente à mesma triangulação da superfície da esfera, independentemente de as suas faces serem triângulos equiláteros, retângulos ou de outro tipo qualquer. No que se segue, iremos olhar cuidadosamente para a geometria da superfície do nosso poliedro [3].

Na geometria habitual do plano, temos o conceito fundamental de segmento de reta. Um segmento de reta tem a propriedade de ser a linha de comprimento mínimo que une os seus dois extremos. Para a superfície de um poliedro qualquer (não necessariamente convexo) podemos definir um conceito análogo, a que chamaremos **arco minimizante**. O arco minimizante entre dois pontos é a linha desenhada sobre a superfície do poliedro que une os dois pontos e tem comprimento mínimo (pode existir mais do que um arco minimizante unindo dois pontos, mas ele é único se os pontos estiverem suficientemente próximos). Mais geralmente, chamaremos arco de geodésica a qualquer linha que coincida com o arco minimizante entre quaisquer dois dos seus pontos, desde que suficientemente próximos. É evidente que a intersecção de um arco de geodésica com cada face do poliedro é um segmento de reta (porque senão seria possível diminuir o seu comprimento), e que se o arco de geodésica cruza uma aresta então os ângulos opostos entre o arco e a aresta devem ser iguais (basta “desdobrar” a aresta, como se mostra na figura 1). Consideraremos apenas arcos de geodésica que não contêm vértices do poliedro.

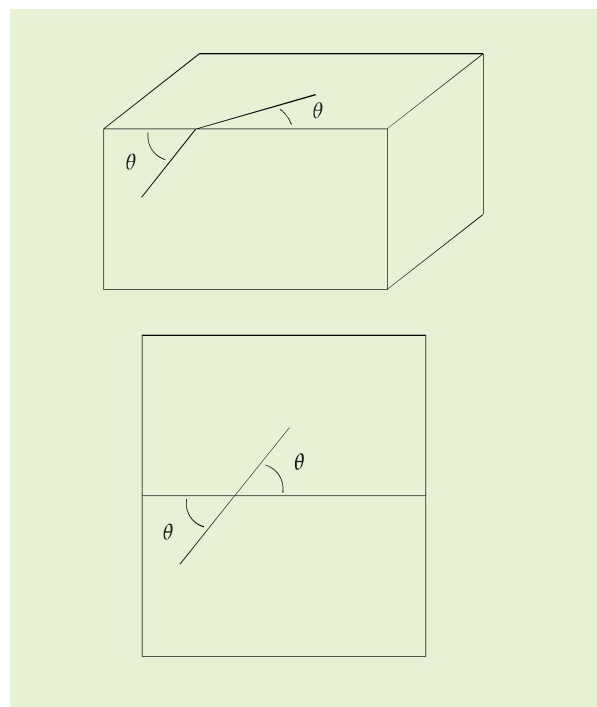


Figura 1: Arco de geodésica num poliedro.

O facto de as arestas poderem “desdobrar-se” mostra que estas, por si só, não introduzem qualquer diferença em relação à geometria do plano. Por exemplo, os ângulos internos de um **triângulo geodésico** (isto é, uma região do poliedro com a topologia de um triângulo cujas arestas são arcos de geodésica) que não contenha nenhum vértice do poliedro no seu interior somam sempre  $\pi$ , mesmo que o triângulo intersekte arestas. As diferenças entre a geometria da superfície de um poliedro e a geometria do plano estão concentradas nos vértices: em geral, os ângulos internos de um triângulo geodésico que contenha um vértice no seu interior não somam  $\pi$ . Por exemplo, na figura 2 podemos ver um triângulo geodésico cujos ângulos internos somam  $\frac{3\pi}{2}$ .

Chamaremos **excesso angular** de um triângulo geodésico à diferença entre a soma dos seus ângulos internos e  $\pi$ . Por exemplo, o excesso angular do triângulo geodésico representado na figura 2 é de  $\frac{\pi}{2}$ . Chamaremos ainda **defeito angular** de um vértice do poliedro à diferença entre  $2\pi$  e a soma dos ângulos do poliedro no vértice em questão. Por exemplo, o defeito angular do vértice contido no interior do triângulo geodésico da figura 2 é também de  $\frac{\pi}{2}$ . Este facto não é uma

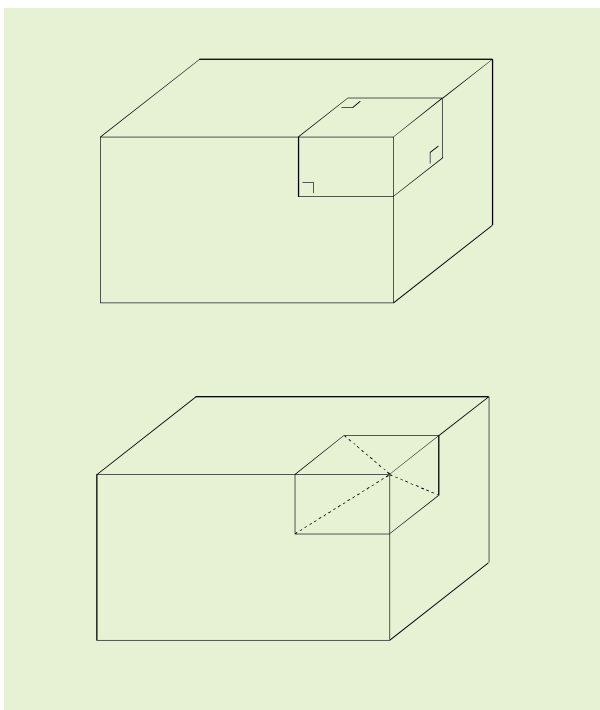


Figura 2: Triângulo geodésico contendo um vértice de um poliedro.

coincidência: o excesso angular de qualquer triângulo geodésico contendo um único vértice no seu interior é sempre igual ao defeito angular desse vértice. De facto, unindo o vértice do poliedro aos vértices do triângulo geodésico, como se mostra na figura 2, decomponemos o triângulo geodésico em três triângulos euclidianos (basta “desdobrar” as arestas apropriadas). Os ângulos internos destes três triângulos euclidianos somam um total de  $3\pi$ , que tem de ser igual à soma dos ângulos internos do triângulo geodésico mais a soma dos ângulos do poliedro no vértice. Por outras palavras, se  $\epsilon$  é o excesso angular e  $\sigma$  é a soma dos ângulos do poliedro no vértice, temos

$$3\pi = (\pi + \epsilon) + \sigma \Leftrightarrow \epsilon = 2\pi - \sigma.$$

**Exercício 3.1.** Dê um exemplo de um poliedro contendo um vértice cujo defeito angular seja negativo. Será que este poliedro pode ser convexo?

Descartes [4] provou o seguinte teorema:

**Teorema 3.2. (Descartes)** Para qualquer poliedro com  $V$  vértices,  $A$  arestas e  $F$  faces, a soma dos defeitos angulares de todos os vértices é igual a  $2\pi(V - A + F)$ .

*Demonstração.* Por um lado, a soma dos defeitos angulares é igual a  $2\pi V$  menos a soma de todos os ângulos do poliedro. Por outro lado, a soma de todos os ângulos do poliedro é igual à soma dos ângulos de todas as suas faces. A soma dos ângulos de uma só face é igual a  $\pi$  vezes o número de arestas dessa face menos  $2\pi$  (ver exercício 3.3). Notando que cada aresta pertence a duas faces distintas, temos então que a soma de todos os ângulos do poliedro é também igual a  $\pi(2A) - 2\pi F$ . Portanto, a soma dos defeitos angulares é

$$2\pi V - (\pi(2A) - 2\pi F) = 2\pi(V - A + F).$$

**Exercício 3.3.** Mostre que a soma dos ângulos internos de um polígono convexo com  $n$  lados é igual a  $(n - 2)\pi$ . (Sugestão: decomponha o polígono em triângulos).

Alternativamente, o teorema de Descartes pode ser formulado em termos da soma dos excessos angulares de uma decomposição do poliedro em triângulos geodésicos contendo

<sup>1</sup> Ver por exemplo a Prova 13 em [2].

no máximo um vértice no seu interior. Esta versão pode ser generalizada para decomposições do poliedro em polígonos geodésicos quaisquer contendo um número arbitrário de vértices no seu interior, onde definimos o excesso angular de um polígono geodésico com  $n$  lados como a diferença entre a soma dos seus ângulos internos  $(n - 2)\pi$ .

**Teorema 3.4. (Descartes)** *A soma dos excessos angulares de uma decomposição qualquer de um poliedro com  $V$  vértices,  $A$  arestas e  $F$  faces em polígonos geodésicos é igual a  $2\pi(V - A + F)$ .*

*Demonstração.* Ver exercícios 3.5 e 3.6

**Exercício 3.5.** *Mostre que o defeito angular do vértice de um poliedro é igual ao excesso angular de um polígono geodésico com  $n$  lados que contenha apenas esse vértice no seu interior.*

**Exercício 3.6.** *Mostre que o excesso angular de um polígono geodésico contendo vários vértices no seu interior é igual à soma dos defeitos angulares dos vértices.*

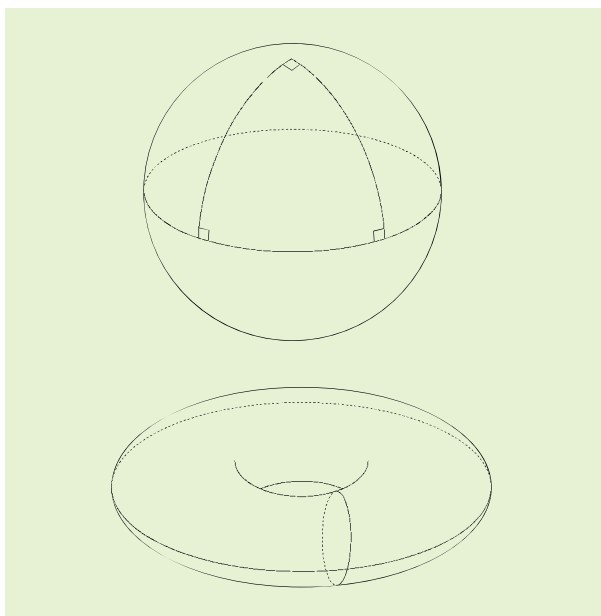


Figura 3: Triângulo geodésico na superfície da esfera e geodésicas do toro.

#### 4. O TEOREMA DE GAUSS-BONNET

Para superfícies curvas gerais é ainda possível definir arcos de geodésica. O teorema de Descartes pode então ser generalizado para estas superfícies, aproximando-as por superfícies de poliedros<sup>2</sup> [6, 7].

**Teorema 4.1. (Gauss-Bonnet)** *A soma dos excessos angulares de uma decomposição qualquer de uma superfície fechada  $S$  em polígonos geodésicos é igual a  $2\pi\chi(S)$ .*

Recorde que um **círculo máximo** na superfície da esfera é a interseção desta com um plano que passa pelo centro da esfera, como, por exemplo, o equador ou um meridiano. Os arcos de geodésica da superfície da esfera são precisamente os arcos de círculo máximo (exercício 4.2). É possível dividir a esfera em 8 triângulos geodésicos como o que se mostra na figura 3, cada um dos quais possui um excesso angular de  $\frac{\pi}{2}$ . O excesso angular total é portanto  $8 \times \frac{\pi}{2} = 4\pi$ , em conformidade com o teorema de Gauss-Bonnet.

**Exercício 4.2.** *Mostre que os arcos de círculo máximo são arcos de geodésica da superfície da esfera. (Sugestão: note que a esfera é invariante por reflexões em relação ao plano que contém o círculo máximo, e use o facto de que o arco minimizante entre dois pontos suficientemente próximos é único).*

**Exercício 4.3.** *Mostre que os “meridianos” e o “equador” do toro (figura 3) são formados por arcos de geodésica, e verifique a validade do teorema de Gauss-Bonnet para esta superfície.*

No limite em que os polígonos ficam muito pequenos, a soma dos excessos angulares reduz-se ao integral de superfície

$$\iint_S K,$$

onde  $K$  é o excesso angular por unidade de área, dito a **curvatura** da superfície. O teorema de Gauss-Bonnet escreve-se então [8]

$$\iint_S K = 2\pi\chi(S).$$

**Exercício 4.4.** *Calcule a curvatura da superfície de uma esfera de raio  $R$ . (Sugestão: note que a esfera é invariante por rotações).*

**Exercício 4.5.** Mostre que em qualquer superfície com a topologia da esfera existem pontos onde a curvatura é positiva.

**Exercício 4.6.** Mostre que a curvatura de uma superfície com a topologia do toro não pode ser positiva em todos os pontos.

O teorema de Gauss-Bonnet relaciona uma propriedade geométrica local (curvatura) com uma propriedade topológica global (característica de Euler). Ideias deste género revelaram-se extraordinariamente férteis, tendo inspirado não só as muitas generalizações do teorema de Gauss-Bonnet, que vão da teoria das classes características ao teorema do índice de Atiyah-Singer, mas, indiretamente, muita da geometria do século XX.

#### REFERÊNCIAS

[1] Richeson, *Euler's Gem: The Polyhedron Formula and the Birth of Topology*, Princeton University Press (2008)

[2] Eppstein, "Nineteen Proofs of Euler's Formula", <http://www.ics.uci.edu/~eppstein/junkyard/euler/>

[3] Viana, "Viagens pelos Mundos Planos", <http://w3.impa.br/~viana/out/plano.pdf>

[4] [http://en.wikipedia.org/wiki/Defect-\(geometry\)](http://en.wikipedia.org/wiki/Defect-(geometry))

[5] Zames, "Surface Area and the Cylinder Paradox", *Two-Year College Math. J.* 8 (1977) 207-211

[6] Givental, "Geometry of Surfaces and the Gauss-Bonnet Theorem", <http://math.berkeley.edu/~giventh/difgem.pdf>

[7] Polyá, "An Elementary Analogue to the Gauss-Bonnet Theorem", *Am. Math. Month.* 61 (1954) 601-603

[8] <http://en.wikipedia.org/wiki/Gauss-Bonnet-theorem>

#### SOBRE O AUTOR

**José Natário** doutorou-se em Matemática na Universidade de Oxford em 2000. É atualmente professor associado no Departamento de Matemática do Instituto Superior Técnico, onde desenvolve investigação nas áreas de geometria e física matemática. É autor de dezenas de artigos científicos e de um livro, *General Relativity Without Calculus* (Springer, 2011), no qual tenta explicar as ideias principais da relatividade geral usando apenas matemática elementar.

<sup>2</sup> Este tipo de limite é delicado – veja-se por exemplo [5].



LOJA  
spm

Consulte o catálogo e faça a sua encomenda online em [www.spm.pt](http://www.spm.pt)